提高流量测量仪表品质的途径

王志刚(苏州工业园区蓝天燃气热电有限公司,江苏 苏州 215126) 纪 纲(上海同欣自动化仪表有限公司,上海 200070)

提 要:流量测量仪表在过程控制、能源计量、贸易结算、储运和物流管理等系统中扮演着重要角色,但是国产流量表还不能完全担当此重任。由于流量测量的多样性和复杂性,流量测量技术正以很快的速度在发展。本文罗列了国际上这方面技术的新进展,供制造商和用户参考。

关键词:流量计品质 空管检测 空管置零 涡轮流量计 频谱分析 双量程差压流量计

1. 概述

提起产品质量,人们会马上想到经久耐用,寿命长。诚然,作为工业产品要经久耐用,寿命长,但这只是品质要求的一小部分,随着产品的特点和用户要求的多样性,对产品质量的要求也在发展 变化。这些要求在产品质量标准和性能评定方法中有些已作了规定,而另有一些,则由需方直接与 供方讨论决定。

这些要求一般用技术指标来描述,对于流量测量仪表来说,它要有精确度指标,稳定性指标,流体温度压力等物性影响指标,抗干扰能力指标,环境适应性指标,供电电源影响指标,多功能指标以及用户要求的其他性能指标。

随着我国社会主义经济事业的发展,仪表行业在残酷的市场竞争中存活了下来,但取胜的原因大多是低价,而非产品质量,为了从以价取胜转移到以质取胜,我们必须急起直追,不断创新,赶超国际先进水平。

本文罗列了几种流量测量仪表国际上的新进展,以期对仪表制造商和用户有所启发。

2. 电磁流量计

2.1 空管检测与空管置零

电磁流量计是专为测量导电液体的体积流量而设计的。测量原理是基于法拉第电磁感应定律。 按照该定律,导电流体通过磁场作切割磁力线运动时,在垂直于磁场及流速的方向上产生感应电势, 此电势由式(1)给出

$$\mathbf{E} = \mathbf{K} \cdot \mathbf{B} \cdot \overline{\mathbf{V}} \cdot \mathbf{D} \tag{1}$$

式中: E —— 感应电势;

K —— 仪表常数;

B —— 磁感应强度:

V —— 平均流速;

D — 测量管内径。

普通的电磁流量计都不允许测量管空管,因为测量管一旦空管,电极暴露在空气中,就会因信 号源内阻特别大而感应励磁线圈的干扰,使得流量示值升到满度。

多年以来人们在寻找空管检测和空管置零的方法。

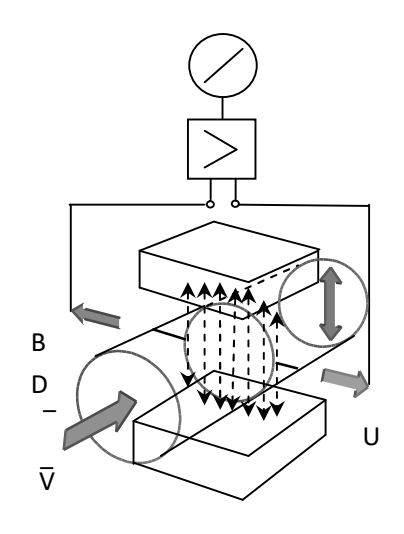


图 1 电磁流量计原理

图 2 所示是一个国外公司已成功运用的方法。

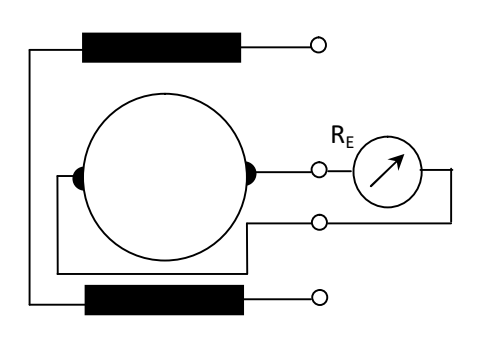


图 2 空管检测原理

这一方法是基于电导率测量。在图 2 中,两电极之间的电阻可用式(2)表示:

$$R_{e} = \frac{K}{E_{f} \sigma} \tag{2}$$

式中: R_e — 电极电阻;

K —— 常数;

E_f—— 电极系数 (与电极面积和测量管内径有关);

σ — 电导率。

从式(2)可得式(3)

$$\sigma = \frac{K}{E_f \cdot R_e} \tag{3}$$

对于自来水以及酸、碱溶液等,满管时 R_e 约为 $10\Omega\sim1k\Omega$,而空管时,液位低于电极,原理上 R_e 为无穷大。由于两个电极之间导管内壁可能潮湿,实际上 R_e 只为有限的阻值,但比正常操作时的电阻值大得多。一般判定是否空管的 R_e 值取正常操作时电阻值的 3 倍。

仪表一旦判定导管为空管,仪表中的单片机即采取两项措施,其一是使输出置零,其二是发出空管报警信号,从而杜绝空管时的错误计量或错误控制。

2.2 非满管检测

电磁流量计是速度式流量计中的一种。它给出的信号其实是流过导管的液体平均流速,在导管内液体充满的情况下,式(4)成立

$$q_v = A\overline{V}$$
 (4)

式中: q_v — 体积流量;

A — 导管截面积;

▼ — 平均流速。

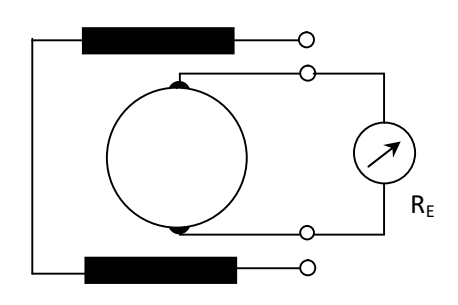


图 3 非满管检测原理

但若有非满管的情况存在,由于导管截面积的一部分被气体占据,以致液体实际流通截面积比 A 小,最后导致流量示值偏高。

电磁流量计大量应用于供水和给排水,水在水平管内流动,常因水温变化而析出气体,并聚集在水平管道的顶部,如果电磁流量计导管的顶部也存有气体,仪表的高精度特性就会大打折扣,因此非满管检测很早以前就已作为研究者的课题。

非满管检测也是基于电导率检测的方法。在图 3 所示的电磁流量传感器中,增加了一个(或一对)非满管检测电极,当导管内液体满管时,顶部电极与其他电极之间的电阻值很小,而当存在非满管情况时,顶部电极与导电液体之间有气体阻隔,所以电极电阻显著增大,从而做出非满管判断。

电磁流量计出现非满管情况,处理方法一般是在流量导管上游管道的顶部设置排气阀。

2.3 流体状况的测量与识别

一台电磁流量计,如果安装合格,内衬无变形,测量管完全充满而且底部无沉积物,则管内流体的流动状态应是对称的平稳的。反之,如果状态存在不对称或紊乱现象,则必然有某一项或多项原因所引起。由于这些原因是存在于管道内,无法直接观察到,而只能用间接的方法测量与识别。

在图 4 所示的原理中, I_1 为上线圈励磁电流, I_2 为下线圈励磁电流, U_1 为从 I_1 感应出的电压, U_2 为 I_2 感应出的电压,由于 I_1 和 I_2 在上下半个管道内产生相反的磁场,如果流态对称、平稳,则 U_1 与 U_2 幅值相同,因它们的方向又相反,所以合成后相互抵消,即

$$U_1-U_2=0$$

如果 U₁≠U₂,则存在不对称或紊乱的流态。

出现不对称或紊乱的流态,可能的原因有:

• 测量管未完全充满;

- 测量管底部有沉积物;
- 传感器内衬变形:
- 安装不当, 法兰间垫片向管内凸出等。

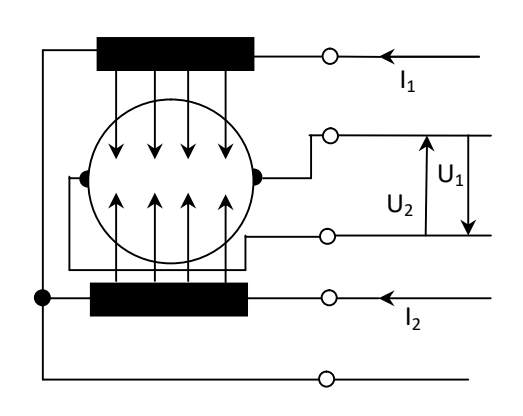
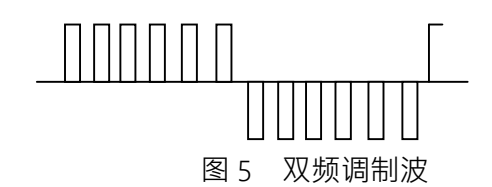


图 4 流态测量与识别原理

2.4 双频励磁

电磁流量计的励磁频率早已是人们的研究对象。励磁频率越低,正交干扰和同相干扰就越小,于是零点变动就能大幅度降低。但是又出现了新的问题,即流量测量反应速度慢,测量浆液时出现 尖状干扰,测量低电导率流体出现流动噪声等新的矛盾。为了解决新问题,近些年来出现了一种用 高频(75~160Hz)矩形波调制低频(1/8 工程频率)矩形波形成的双频励磁方式(如图 5 所示),兼 有两者的优点,稳定性好,测量反应迅速^[1]。



3. 涡街流量计

3.1 涡街流量计抗振能力的重要性

涡街流量计是一种流体振荡型流量计。在涡街流量传感器中,流体流过旋涡发生体时,在发生体两侧就会交替地分离出卡曼涡街。旋涡频率与流过发生体两侧的流体平均流速成正比。

此旋涡经检测元件转换成电脉冲信号。检测元件的种类很多,其中使用最多的是压电晶体。

安装涡街流量传感器的工业现场和管道,难免有一定的振动,压电晶体在受到振动后,也产生相应的脉冲输出。这种干扰脉冲与旋涡产生的脉冲混在一起,很难将其分离开来,这是因为:

- ① 干扰脉冲的幅值与涡街信号的幅值相当, 甚至高于涡街信号;
- ② 干扰脉冲的频率在旋涡频率范围之内。

这种干扰严重威胁涡街流量计的品质。例如有一个外国知名度很高的品牌,在引入频谱分析技术之前,抗振性能很差,尤其是公称通径大的仪表,不用说管道振动引起仪表示值升高,就是在仪表接线盒附近用力拍手,也会引起仪表示值升高,或出现"无中生有"现象。

3.2 提高抗振能力的途径

现在,国产品牌涡街流量计就品牌数量来说相当可观,但技术水平不高,绝大多数还停留在用

硬件方法组成的带通滤波器上。所以要进一步提高仪表的抗振动能力,只能借助于软件方法。目前,技术指标先进的外国品牌大多采用自适应滤波法,频谱分析法,快速付里叶变换(FFT)法等^[2]。从而提高了抗振能力。

例如前面的例子所述的涡街流量计,从 2005 年引入了频谱分析技术后,抗振能力从原来的 0.5g 提高到 2g。

3.3 涡街流量计抗振能力的一般试验

3.3.1 型式试验所用的方法

仪表型式试验中的振动试验, GB/T2423.10 描述了常用的程序。作为用户来说,往往不具备这一试验的条件,而且也不一定有此必要。

3.3.2 现场装置所用的方法

用户在使用现场对安装完毕的涡街流量计进行抗振试验,往往采用简单而直观的方法。例如用小锤对涡街流量计的适当部位外加机械振动。

对于抗振性能较差的涡街流量计,在测量管内流速为零时,只需轻轻敲击仪表的颈部,其输出就会迅速上升。而抗振指标先进的仪表,只有对其颈部进行连续不停地快速地用力敲击,仪表才会有输出。

4. 涡轮流量计

涡轮流量计结构简单、紧凑、轻巧,安装维护方便,流通能力大。尤其是精确度高,重复性好, 在油品计量中,使用很普遍。在有机液体、液化气、天然气等的计量中,使用也很广。

但涡轮流量计也有其固有的缺点,即叶轮连续不停地旋转,轮轴与轴承之间的磨损在所难免,国产涡轮流量计的平均无故障间隔时间(MTBF)一般确定为8000~20000h。

国外先进水平的设计是采用宝石轴承与镍基碳化钨转轴配合,减少磨损,可将寿命延长数倍^[3]。 碳化钨材料硬度极高,宝石轴承既硬又光滑,摩擦系数极小,采用这种组合不仅寿命长,而且 阻力矩大幅减小,从而可使测量范围度得以扩大。

5. 差压式流量计

差压式流量计是历史最悠久的流量测量仪表之一,但针对其不足和存在的问题,现在仍在发展 和改进。

5.1 标准节流装置国际标准的改进

国际标准化组 ISO 正式公布了最新国际标准 ISO5167:2003(E),该标准与 ISO5167-1(1991)相比,有下列主要改进:

(1)孔板的流出系数用 R/G 公式(Reader-Harris/Gallagher 公式取代 stolz ISO5167 公式(具体 公式略)。

在 R_{eD}>4000 时,按全部数据库计算: R/G 公式的标准偏差为 0.259%; 若在 stolz 公式所包括的范围内比较, R/G 公式的标准偏差为 0.245%。因此,精确度有了明显提高。

(2) 采用如式 (5) 所示的新公式计算孔板的介质可膨胀性系数 ε。

$$\epsilon = 1 - (0.351 + 0.256 \, \beta^4 + 0.93 \, \beta^8) \left[(1 - \frac{P_2}{P_1})^{\frac{1}{\kappa}} \right] \tag{5}$$

式中 ε — 可膨胀性系数;

β — 直径比,β = d / D;

d — 工作条件下节流件的开孔直径, m;

D —— 管道内径, m;

P₂ — 节流件负端取压口绝压, Pa;

P₁ — 节流件正端取压口绝压, Pa;

K —— 等熵指数。

该式描述的是一根关于 $\varepsilon = f(\Delta p)$ 的曲线。而如式(6)所示的老公式描述的是一根

关于 $ε = f(\Delta p)$ 的直线。两者相比,曲线偏离实验点更小 [5]。

$$\varepsilon = 1 - (0.41 + 0.35) \beta^4) \frac{\triangle p}{\kappa P_1}$$
 (6)

式中 $\triangle p$ — 差压, Pa。

其余同式(5)。

(3) 其他方面的改进

ISO5167: 2003(E)还对上下游最小直管段长度、孔板的温度修正,上游管道内壁粗糙度等也提出了新的限制要求。

5.2 С和ε的在线补偿

目前,国内差压流量计制造行业已普遍执行新标准,相应的国家标准是 GB/T2624-2006。按照 新标准设计制造节流装置,只意味着在常用流量这一点,流量测量不确定度进一步减小,但若不对 流出系数 C 和可膨胀性系数 ϵ 进行补偿,则被测流量偏离常用流量后,不确定度就相应增大。这是 因为 C 和 ϵ 客观上是个变量,将其简化成常数,必然带来非线性误差。

在流量标准装置上对一套差压式流量计实施检定时,也证明了这一点。

标准孔板差压流量计放在水流量标准装置上检定,如果不进行流出系数非线性在线补偿,满量程流量的 20%以下部分,误差就将大于 1%MV,也即做到 5:1 的量程比已很费力。而若进行 C 的在线补偿,满量程流量的 10%~100%范围内,误差都可以控制在 1%范围内。

关于 C 和 ε 在线补偿的实际效果,在气体标准装置上的验证,也得到了证实 $^{[6]}$ 。

5.3 提高测量点的差压测量精确度与双量程差压流量计

上面说到的引入 C 和 ε 补偿后, 10%FS 处的系统误差有了保证, 其实, 此时制约系统精确度的已变成差压测量的不确定度, 因为在 10%FS 流量计量点, 差压值只有满量程差压的 1%, 而差压变送器的精确度又是按照引用误差定义的, 精确度等级再高的差压变送器在此条件下, 测量不确定度也增大到惊人的数值。所以欲扩大范围度,必须另配一台低量程差压变送器, 供流量量程低端差压测量之用。

例如在用双量程差压式流量计测量蒸汽流量时,常将流量量程分为两段,0~17.32%FS 的一段为低量程,配一台 0~3kPa 差压变送器; 17.32%FS~100%FS 的一段为高量程,配一台 0~100kPa 差压变送器,两台变送器在流量二次表的配合下协调动作,自动进行量程切换和计算,从而将量程低端的系统精确度大大提高一步。

在流量标准装置上所做的检定也证实,设计和安装合理的双量程差压流量,量程比可达到 **30**:1,可测最小流量可达流量测量上限的 **1%**^[7]。

图 7 的图片所示是一台 DN500 双量程流量计在某石化厂的实际运行曲线。数据采集历史曲线图中的黑、紫、浅蓝、深蓝等四根曲线,分别是蒸汽压力、蒸汽温度、蒸汽密度和蒸汽质量流量。其中,质量流量测量上限为 100t/h(对应差压 100kPa),在读数线所对应的时刻,质量流量读数为 0.93t/h,这时,低量程差压变送器(带开平方)输出电流约为 4.86mA。从而将原本已进入小信号切除区的流量予以可靠显示。



图 6 双量程差压式流量计运行曲线

参考文献

- 1. 蔡武昌, 应启戛主编. 新型流量检测仪表. 北京: 化学工业出版社, 2006.
- 2. 姜仲霞,姜川涛,刘桂芳. 涡街流量计. 北京:中国石化出版社,2006.
- 3. 纪纲.流量测量仪表应用技巧(第二版).北京: 化学工业出版社, 2009.
- 4. ISO5167-2: 2003(E) Measurement of fluid flow by means of pressure differential devices inserted in circular cross-section conduits running full—Part 2: Orifice plates
- 5. HEADER—HARRIS, M.J..the equation for the expansibility factor for orifice plates.In Proc.of FLOMEKO 98, Lund, Sweden, June 1998, pp.209-214.
- 6. 王建忠, 纪纲. 差压流量计范围度问题研究. 自动化仪表, 2005, (8).
- 7. 国家质检总局计量司等组编. 2008 全国能源计量优秀论文集. 北京: 中国计量出版社, 2008.

本文源自《化工与医药工程》2022年第2期